

数量化理論工類による大阪地盤の震動予測

京都大学防災研究所 正会員 土岐憲三
飛島建設 ○正会員 戸早孝幸

1. まえがき： 地震発生時における地表面での応答特性は、震源の破壊機構、震源距離、波動の伝播経路、地表付近の地盤特性などさまざまな要因に影響され変化する。本研究では、これらのうち地表付近の地盤の構成要素が地表面の応答特性に与える影響を、モデル地盤を用いて検討し、次いで大阪地盤の動的定数に関するデータベースを用いて応答解析を行った。さらに応答計算結果に対する、多數いくつかの要因を考慮して数量化理論を適用することにより、重要な要因を見い出すとともに、応答値の予測式を提示した。

2. 表層地盤の応答特性： 強震時には、地盤の弾性定数が非線形となることから、応答解析にひずみ依存性を取り入れたマトリックスによる重複反射法¹⁾を用い、モデル地盤に対する計算結果より、地盤構成の各要因が応答特性に及ぼす影響度評価を行った。モデル地盤として、5層の非線形せん断ばりを想定し、入射波は、TAF T(1952)のN21Eの波形を使用した。図-1は各層厚を一定(各5m)、第5層を基盤($\lambda=350\text{cm}$)とし、表層の各層の λ として100, 150, 200, 250%よりなたランダムに組み合せて仮定したときの最大加速度応答と軟弱層($\lambda=100\text{cm}$)の出現位置別に分類したものである。これらの解析により、軟弱層の出現位置が応答の大ささに重要な影響を持つことが見い出されたが図-1よりも明らかのように、軟弱層が上方にある程応答値が大きくなることが明らかにされた。また、従来の研究より第1層と基盤のインピーダンスが応答値に与える影響が顕著であることが知られておりが本研究でも同様の結論が得られた。

3. 大阪地盤のモデル： 大阪地盤のモデルは、土木学会関西支部と土質学会関西支部によって作成され、関西情報センターがユーザーサービスに当たっているデータベースに基づいて設定した。この61個所の地盤に対し、TAF T(1952)の最大値を50, 100, 150 galと修正した波形を入射波としたときの最大加速度、速度応答値の頻度分布を図-2、図-3に示す。

Kenzo TOKI, Takayuki TOHAYA

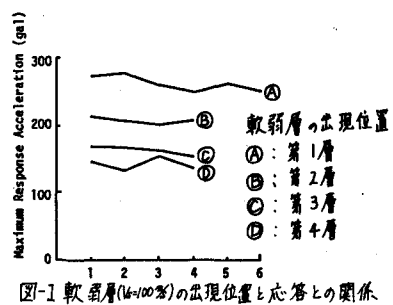


図-1 軟弱層($\lambda=100\text{cm}$)の出現位置と応答との関係

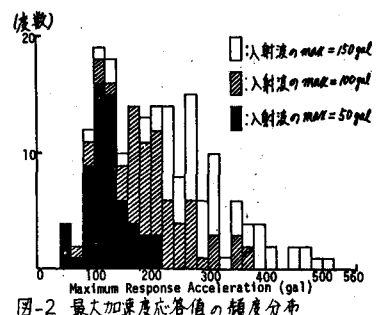


図-2 最大加速度応答値の頻度分布

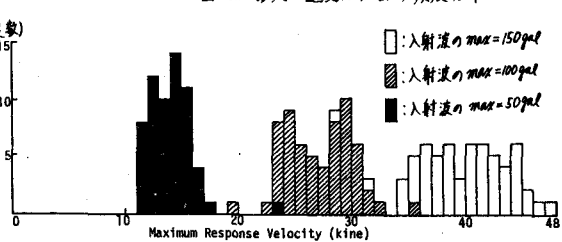


図-3 最大速度応答値の頻度分布

表-1 数量化理論工類に使用するアドムの組合せ

CASE	第1層の V_s	表層厚	基盤の V_s	最小の V_s	層別の λ の深さ
1	○	○	○		○
2	○	○	○	○	○
3	○	○	○	○	○
4	○	○	○	○	○
5	○	○	○	○	○
6	○	○	○		○

4. 応答予測：表-I のように地盤特性を表現する 5 つのアイテムを採択し、その組合せによって 6 つの Case を設定して、図-2、図-3 の計算結果

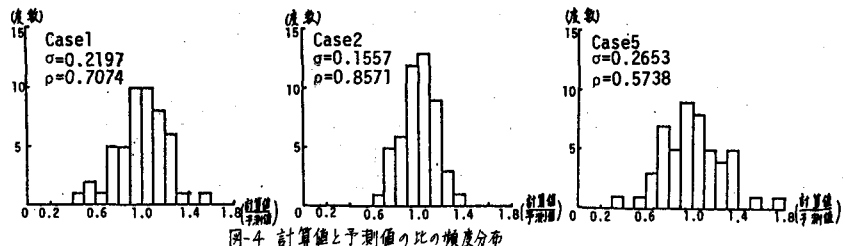


図-4 計算値と予測値の比の頻度分布

表-2 数量化理論 I 類の結果
外的基準：最大加速度応答値

アイテム	カテアリー	反応数	カテアリー値	レンジ	相関係数
第 1 層の Vs (m/s)	70 - 110	42	207.985	12.447	0.297
110 - 140	45	140.147	12.447		
140 - 200	45	163.107	12.447		
200 -	51	153.667	12.447		
基盤の Vs (m/s)	250 - 300	60	0.0	11.440	
300 - 410	42	4.737	11.440	55.577	0.454
410 - 500	39	10.626	11.440	58.577	
表層厚 (m)	6 - 22	39	0.0	-31.294	
22 - 35	48	54	-31.294	70.207	0.477
35 - 50	54	54	-31.294	-76.236	
50 -	42	42	-31.294		
最小の Vs (m/s)	60 - 100	45	0.0	11.440	
100 - 140	51	35.271	11.440	50.988	0.340
140 - 200	45	52.298	11.440		
最大の Vs (m)	0 - 3	42	0.0	-65.766	
3 - 6	42	1.147	-65.766	96.431	0.602
6 - 11	45	1.474	-65.766	96.431	
11 -	48	1.474	-65.766		
入射波の振幅 (g)	50 - 100	61	0.0	10.279	
100 - 150	61	50.279	10.279	173.256	0.372

表-3 数量化理論 I 類の結果
外的基準：最大速度応答値

アイテム	カテアリー	反応数	カテアリー値	レンジ	相関係数
第 1 層の Vs (m/s)	70 - 110	42	13.457	12.447	
110 - 140	45	12.637	12.447	3.826	0.503
140 - 200	45	11.127	12.447		
200 -	51	10.672	12.447		
基盤の Vs (m/s)	250 - 350	60	0.0	11.440	
350 - 410	42	1.147	11.440	3.953	0.564
410 - 500	42	1.474	11.440	3.953	
500 -	39	1.474	11.440		
表層厚 (m)	6 - 22	39	0.0	-65.766	
22 - 35	48	1.147	-65.766	1.685	0.283
35 - 50	54	1.474	-65.766		
50 -	42	1.474	-65.766		
最小の Vs (m/s)	60 - 100	45	0.0	10.279	
100 - 140	51	0.563	10.279	1.879	0.306
140 -	48	-0.272	10.279		
最大の Vs (m)	0 - 3	48	0.0	-0.145	
3 - 6	42	0.311	-0.145	1.713	0.265
6 - 11	45	0.488	-0.145		
11 -	48	-1.045	-0.145		
入射波の振幅 (g)	50 - 100	61	0.0	13.209	26.242
100 - 150	61	26.242	13.209	0.984	

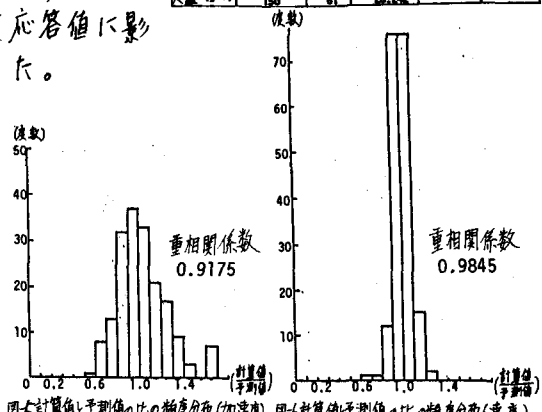


図-5 計算値と予測値の比の頻度分布(加速度)

図-6 計算値と予測値の比の頻度分布(速度)

結果のうち入射波の最大値が 100 gal の場合の加速度応答に対する数量化理論により多变量解析を行った。この結果得られる予測値に対する応答計算値の比を横軸にとった頻度分布が図-4 であるが、この結果から Case 2 が最も精度が高いことがわかる。次に、Case 2 のアイテムに入射波の強度を取り入れたときの最大加速度、速度応答値に対する解析結果を表-2、表-3 に示す。図-5、図-6 に両表に基づく予測値に対する計算値の比の頻度分布を示す。数量化理論 I 類では、予測値をカテアリー値の線形和で表められるので、予測式は次のようになる。

$$\alpha = \sqrt{V_s} \cdot 184.16 \cdot \chi_{\text{sum}}$$

ただし、 χ_{sum} はカテゴリー値。

$$\delta(j, k) = \begin{cases} 1: 外的基準が j 項目の長カテアリーに反応するとき \\ 0: 外的基準が j 項目の長カテアリーに反応しないとき \end{cases}$$

5. 結論：以下のように要約される。

(1) 表層地盤の構成要素のうち、軟弱層の地表面からの距離、表層厚、第 1 層の Vs、基盤の Vs が最大加速度応答値に影響を及ぼす要因の主なものであることが判明した。

(2) 表-2、表-3 より加速度振幅に与える影響は、入射波の強度、軟弱層の出現位置、表層厚がせん断波速度の大きさより顕著であり、速度振幅については、入射波の強度がかなり支配的である。他のアイテムについては、せん断波速度の大きさが、表層厚や軟弱層の出現位置の影響よりも大きいがその程度は顕著ではないことがわかった。

(3) 図-5、図-6 より計算値は予測式により非常に良い精度で再現されている。また入射波を簡化 (1968) の波形を使い、同様の解析を行った結果でも予測値と計算値は良い相関を示した。

参考文献 1) 土岐憲三；土木学会編新体系土木工学 II、構造物の耐震解析、P.P.71~94, 1981.
2) 伯野元彦、井上涼介；地盤の鉛直剛性分布が地表震動特性に及ぼす影響、P.P.1~10, 1981.